

# WYNIKI CIĄGŁYCH POMIARÓW HAŁASU W ŚRODOWISKU

## DLA LOTNISKA CHOPINA W WARSZAWIE

Nazwa obiektu: punkt pomiarowy nr 5 „Meral”

Data wykonania pomiaru:

początek: 01 - 03 - 2022

koniec: 31 - 03 - 2022

Lokalizacja punktu pomiarowego: Warszawa, ul. Czeresiñowa 98

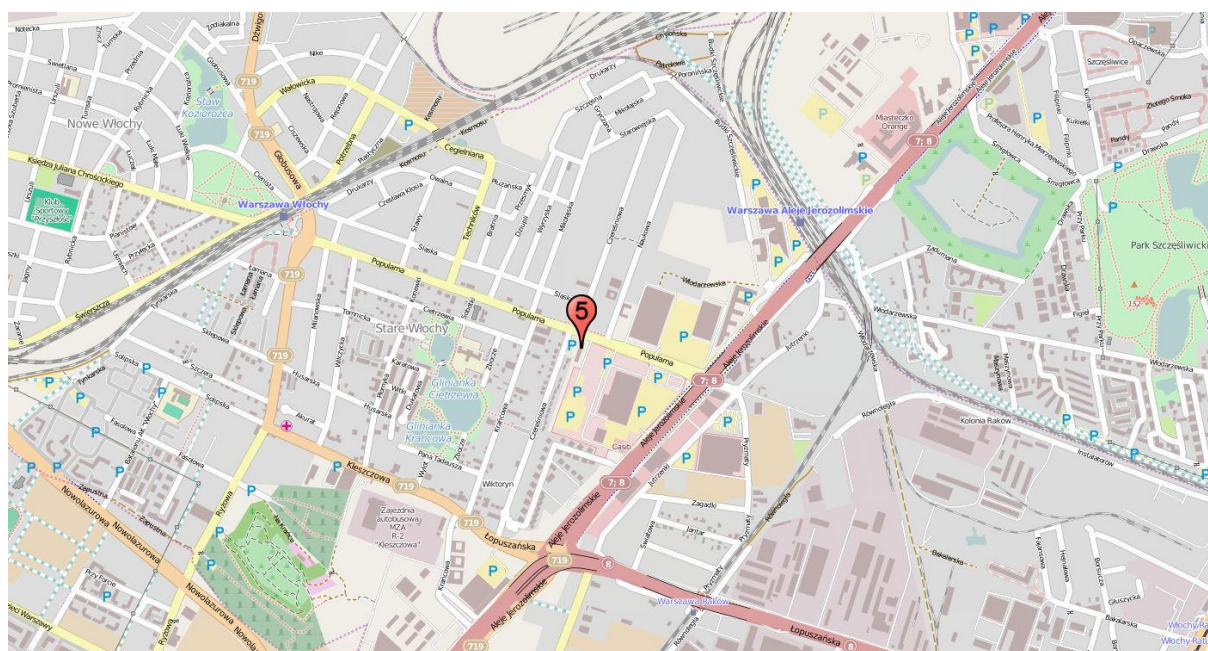
Układ współrzędnych: WGS 84

Szerokość geograficzna: N 52° 12' 08,4”

Długość geograficzna: E 20° 55' 48,2”

Względna wysokość punktu pomiarowego [m]: 24

### Lokalizacja na planie:



### Metoda badañ:

Metoda ciągłych lub okresowych pomiarów monitoringowych: metodyka referencyjna, określona w załączniku nr 1 do rozporządzenia Ministra Środowiska z dnia 16.06.2011 w sprawie wymagañ w zakresie prowadzenia pomiarów poziomów substancji lub energii w środowisku przez zarządzającego drogą, linią kolejową, linią tramwajową, lotniskiem, portem.

Metody obliczeniowe: jw.

### Aparatura pomiarowa:

Analizator poziomu dźwięku (producent; nr typu): Lochard, EMU-2

Mikrofon/sonda mikrofonowa (producent; nr typu): Lochard, 41DM-2

Świadectwo uwierzytelnienia nr 00028572/02/2021 z dnia 12.07.2021r. wydane przez Laboratorium Akredytowane Nr AP 146

Wzorzec akustyczny (producent; nr typu): Brüel & Kjær; 4228

Równoważny poziom dźwięku w porze dnia i w porze nocy  
w odniesieniu do jednej doby, wg wskaźników  $L_{AeqD}$  i  $L_{AeqN}$   
powodowany przez starty, lądowania i przeloty statków  
powietrznych

Dzień miesiąca/ Marzec 2022 r.	Równoważny poziom dźwięku	
	Pora dnia $L_{AeqD}$ w dB	Pora nocy $L_{AeqN}$ w dB
1	48,0	42,7
2	47,4	0,0
3	47,1	45,7
4	49,4	44,6
5	49,5	0,0
6	47,7	34,0
7	42,7	43,1
8	49,2	29,9
9	48,9	28,3
10	0,0	32,9
11	34,4	0,0
12	42,5	0,0
13	26,2	0,0
14	0,0	29,2
15	48,1	0,0
16	42,9	0,0
17	0,0	0,0
18	0,0	0,0
19	0,0	0,0
20	0,0	37,3
21	42,8	35,5
22	59,3	56,2
23	49,0	0,0
24	45,8	0,0
25	49,0	49,0
26	50,7	0,0
27	52,8	0,0
28	46,4	39,3
29	47,4	42,9
30	49,2	0,0
31	48,2	0,0

Zgodnie z art. 112a ustawy – Prawo ochrony środowiska oraz rozporządzeniem Ministra Środowiska z dnia 16 czerwca 2011 r. w sprawie wymagań w zakresie prowadzenia pomiarów poziomów substancji lub energii w środowisku przez zarządzającego drogą, linią kolejową, linią tramwajową, lotniskiem lub portem, do ustalania i kontroli warunków korzystania ze środowiska mają zastosowanie wskaźniki hałasu odnoszące się do jednej doby:

- $L_{AeqD}$  – równoważny poziom dźwięku A dla pory dnia (rozumianej jako przedział czasu od godz. 6.00 do godz. 22.00),
- $L_{AeqN}$  – równoważny poziom dźwięku A dla pory nocy (rozumianej jako przedział czasu od godz. 22.00 do godz. 6.00).

Wyznaczone wartości tych wskaźników dla poszczególnych dni i nocy w marcu 2022 podano w tabeli powyżej.

W tabelach poniżej podano zestawienia zdarzeń akustycznych zarejestrowanych w punkcie pomiarowym, na podstawie których wyznaczono wartości wskaźników  $L_{AeqD}$  i  $L_{AeqN}$  dla poszczególnych dni i nocy w miesiącu.

Zestawienie zdarzeń akustycznych spowodowanych przelotami statków powietrznych w porze dnia ( przedział czasu pomiędzy godz. 06.00 – 22.00 )

Nr punktu pomiarowego	Data i godz. zdarzenia	Samolot	Operacja*	L <sub>Aeq</sub>	L <sub>Amax</sub>	L <sub>AE</sub>
				[dB]	[dB]	[dB]
5	01-03-2022 08:37:34	B788	D	72,0	75,2	85,8
5	01-03-2022 15:26:40	B788	D	71,3	73,5	82,7
5	01-03-2022 16:42:45	B789	D	71,8	74,7	83,9
5	01-03-2022 16:55:09	B788	D	71,7	74,2	84,0
5	01-03-2022 17:09:56	B788	D	73,5	77,8	88,1
5	01-03-2022 17:47:23	B788	D	71,2	74,0	83,7
5	01-03-2022 18:38:46	B788	D	71,6	74,4	83,9
5	01-03-2022 21:18:26	E75S	D	68,6	70,8	80,4
5	02-03-2022 12:32:01	B788	D	72,1	75,2	85,4
5	02-03-2022 16:11:22	B788	D	71,7	74,5	84
5	02-03-2022 16:26:59	B788	D	72,5	75,7	85,1
5	02-03-2022 17:33:24	B788	D	71,7	74,9	84,2
5	02-03-2022 17:44:18	B789	D	72,3	75,6	84,6
5	02-03-2022 17:49:08	B789	D	72,3	75,9	84,9
5	02-03-2022 21:20:35	B789	D	72,4	77,0	86,5
5	03-03-2022 08:25:22	B788	D	72,1	74,4	84,4
5	03-03-2022 10:11:02	GLF5	D	69,9	72,1	81,9
5	03-03-2022 16:06:20	B789	D	72,3	75,7	85,3
5	03-03-2022 16:45:00	B788	D	72,0	75,9	86,1
5	03-03-2022 18:08:59	B788	D	72,6	76,4	86,4
5	03-03-2022 19:01:11	B788	D	71,2	73,4	84,6
5	03-03-2022 21:55:48	B789	D	72,6	75,9	85,8
5	04-03-2022 08:21:57	B788	D	72,2	76,3	86,2
5	04-03-2022 10:45:00	E75S	D	73,8	78,2	86,8
5	04-03-2022 11:08:10	LJ75	D	67,4	67,7	77,8
5	04-03-2022 11:24:33	B38M	D	67,3	67,6	78,4
5	04-03-2022 12:31:11	B788	D	72,6	76,6	86,4
5	04-03-2022 16:31:57	B788	D	71,7	75	85,1
5	04-03-2022 16:52:55	B789	D	73,3	76,9	86,7
5	04-03-2022 17:03:21	B788	D	74,8	79	89,1
5	04-03-2022 17:38:08	B788	D	72,9	75,8	85,7
5	04-03-2022 18:01:05	B788	D	72,3	77,1	86,6
5	04-03-2022 20:10:41	B77W	D	76	80,5	89,8
5	05-03-2022 07:20:51	A21N	D	73,5	79,4	85,8
5	05-03-2022 09:51:29	B789	D	73,5	77,5	86,9
5	05-03-2022 11:13:07	E195	D	73,6	78,7	86,9
5	05-03-2022 11:52:58	B788	D	71,3	74,6	84,3
5	05-03-2022 12:11:33	B788	D	70,5	75,1	85,1
5	05-03-2022 16:36:00	B789	D	72,1	74,9	84,8
5	05-03-2022 16:51:05	B788	D	72,4	76,4	85,4
5	05-03-2022 17:23:28	B789	D	71,5	74,3	84,5
5	05-03-2022 17:28:06	B788	D	70,5	73,6	83,7
5	05-03-2022 17:38:11	B788	D	72,8	75,6	84,8
5	05-03-2022 19:37:48	B788	D	73,7	77,4	87,7
5	06-03-2022 11:13:42	B789	D	72,3	75,6	84,6
5	06-03-2022 13:49:06	A21N	A	72,1	75	83,2
5	06-03-2022 16:33:16	B788	D	72	74,8	84,8
5	06-03-2022 16:40:09	B789	D	72,2	75,8	85,0
5	06-03-2022 17:00:44	B788	D	71,1	74,3	85,1
5	06-03-2022 17:25:45	B789	D	72,4	75,4	85,0
5	06-03-2022 17:41:32	B788	D	72,5	75,1	85,2
5	06-03-2022 19:09:52	B788	D	73,2	77,5	87,7
5	07-03-2022 12:41:21	B788	D	71,3	75,1	85,6
5	07-03-2022 17:19:45	B788	D	74,1	78,1	89,1

Nr punktu pomiarowego	Data i godz. zdarzenia	Samolot	Operacja*	L <sub>Aeq</sub>	L <sub>Amax</sub>	L <sub>AE</sub>
				[dB]	[dB]	[dB]
5	08-03-2022 08:27:38	B789	D	71,2	74,7	84,0
5	08-03-2022 08:47:33	A343	D	76,2	81,0	91,2
5	08-03-2022 08:50:35	B38M	D	70,4	73,6	82,7
5	08-03-2022 15:59:00	B789	D	72,6	77,0	86,9
5	08-03-2022 16:27:27	B789	D	72,4	75,9	86,2
5	08-03-2022 17:13:24	B788	D	72,2	75,2	85,0
5	08-03-2022 17:23:38	B788	D	71,2	75,0	84,5
5	08-03-2022 17:33:59	B788	D	72,4	75,3	85,4
5	08-03-2022 17:45:26	B788	D	72,4	75,6	85,6
5	09-03-2022 06:46:18	B788	D	71,8	75,4	85,0
5	09-03-2022 12:27:52	B788	D	75,5	83,7	91,4
5	09-03-2022 12:51:05	B788	D	73,8	77,1	86,8
5	09-03-2022 14:26:22	B788	D	72,5	76,0	85,7
5	09-03-2022 16:45:43	B789	D	71,5	74,8	84,3
5	09-03-2022 16:55:01	B789	D	73,9	78,1	87,9
5	09-03-2022 17:18:16	B788	D	72,5	75,9	85,5
5	09-03-2022 17:48:49	B788	D	72,8	77,1	87,1
5	09-03-2022 19:27:49	B788	D	71,9	75,0	85,3
5	11-03-2022 06:11:47	E190	A	68,0	70,1	82,0
5	12-03-2022 17:28:37	E195	D	72,8	76,4	85,1
5	12-03-2022 17:54:47	B788	D	70,7	73,0	82,1
5	13-03-2022 17:01:26	A321	A	73,6	79,9	82,7
5	15-03-2022 13:14:58	B77W	D	67,4	68,7	77,4
5	15-03-2022 16:28:01	B788	D	72,8	75,7	85,8
5	15-03-2022 16:35:33	E195	D	82,8	92,7	98,3
5	15-03-2022 16:59:18	B789	D	73,5	76,3	87,4
5	15-03-2022 17:29:58	B788	D	72,0	76,0	85,3
5	16-03-2022 11:42:31	B788	D	74,7	79,0	89,1
5	16-03-2022 12:45:17	B788	D	73,6	77,5	86,4
5	16-03-2022 20:40:53	E170	A	67,6	69,6	77,6
5	17-03-2022 11:01:12	C525	A	69,3	74,1	81,1
5	21-03-2022 12:49:42	B788	A	70,7	74,3	82,1
5	21-03-2022 18:07:16	A319	A	65,0	69,1	76,1
5	21-03-2022 21:54:10	A306	D	75,7	81,0	90,3
5	22-03-2022 06:14:50	A321	D	73,7	77,2	88,0
5	22-03-2022 06:17:17	B738	D	76,8	81,3	89,8
5	22-03-2022 06:22:18	A321	D	71,9	75,3	86,6
5	22-03-2022 06:25:02	A21N	D	72,1	75,2	85,1
5	22-03-2022 06:27:40	A321	D	72,9	76,7	87,7
5	22-03-2022 06:29:53	E195	D	74,3	79,5	88,1
5	22-03-2022 06:36:57	B744	D	77,1	82,9	92,4
5	22-03-2022 06:49:12	A319	D	71,7	75,5	85,5
5	22-03-2022 07:12:38	A321	D	73,3	77,5	87,3
5	22-03-2022 07:20:26	E170	D	74,1	77,8	86,9
5	22-03-2022 07:24:12	A20N	D	72,6	75,8	84,7
5	22-03-2022 07:28:13	E170	D	73,9	77,1	86,9
5	22-03-2022 07:33:45	B734	D	72,3	76,5	86,3
5	22-03-2022 07:35:26	E190	D	73,3	76,8	86,7
5	22-03-2022 07:37:20	E75S	D	74,0	77,5	87,2
5	22-03-2022 07:39:01	E75S	D	73,3	77,8	86,7
5	22-03-2022 07:41:54	E190	D	73,4	78,1	86,7
5	22-03-2022 07:43:28	E75S	D	73,6	77,3	86,8
5	22-03-2022 07:44:58	E170	D	73,5	77,6	87,5
5	22-03-2022 07:52:56	DH8D	D	67,1	69,5	77,1
5	22-03-2022 08:04:38	E75S	D	73,6	76,8	86,8
5	22-03-2022 08:06:23	E75S	D	73,9	77,3	87,9
5	22-03-2022 08:14:43	B38M	D	70,6	73,5	84,0

Nr punktu pomiarowego	Data i godz. zdarzenia	Samolot	Operacja*	L <sub>Aeq</sub>	L <sub>Amax</sub>	L <sub>AE</sub>
				[dB]	[dB]	[dB]
5	22-03-2022 08:22:00	A319	D	72,0	74,8	84,8
5	22-03-2022 08:23:37	DH8D	D	66,4	68,4	77,2
5	22-03-2022 08:25:08	E170	D	73,2	76,9	87,2
5	22-03-2022 08:27:13	A332	D	69,6	71,7	85,1
5	22-03-2022 08:29:51	B738	D	75,5	80,8	89,5
5	22-03-2022 08:32:00	B38M	D	72,6	75,4	84,6
5	22-03-2022 08:33:51	B38M	D	72,2	74,7	84,5
5	22-03-2022 08:35:28	B738	D	75,5	79,7	89,1
5	22-03-2022 08:39:57	E190	D	74,1	78,9	87,3
5	22-03-2022 08:45:01	E195	D	74,6	79,0	88,0
5	22-03-2022 08:57:17	B788	D	71,3	74,7	85,1
5	22-03-2022 09:06:47	AT75	D	70,9	74,1	81,3
5	22-03-2022 09:28:33	E195	D	73,5	78,4	87,3
5	22-03-2022 09:31:04	A320	D	72,1	75,2	85,3
5	22-03-2022 09:32:41	A21N	D	72,0	75,7	84,5
5	22-03-2022 09:41:22	E195	D	73,4	77,0	86,2
5	22-03-2022 10:10:23	CRJ9	D	70,9	74,1	85,7
5	22-03-2022 10:33:44	B38M	D	71,2	73,9	83,3
5	22-03-2022 10:49:09	B38M	D	71,5	73,9	83,5
5	22-03-2022 10:52:58	E195	D	73,4	76,8	86,4
5	22-03-2022 11:01:41	GLF5	D	68	69,9	78,8
5	22-03-2022 11:03:32	E195	D	72,7	77,2	85,7
5	22-03-2022 11:09:48	C30J	D	73,1	76,6	85,1
5	22-03-2022 11:13:48	A21N	D	71,8	75,5	85,2
5	22-03-2022 12:08:21	B789	D	72	75,3	84,1
5	22-03-2022 12:23:05	E75S	D	71,5	74,4	84,7
5	22-03-2022 12:36:28	A321	D	72	74,5	85,8
5	22-03-2022 12:50:49	B738	D	76	81,6	90,4
5	22-03-2022 13:04:05	B77W	D	74,5	78,4	88
5	22-03-2022 13:07:58	E190	D	69,3	72,3	82
5	22-03-2022 13:16:30	A321	D	71,6	76,6	85,9
5	22-03-2022 13:32:07	E195	D	74,2	78,4	87,7
5	22-03-2022 13:51:28	A21N	D	71,7	75,0	84,0
5	22-03-2022 14:28:24	B788	D	72,2	73,9	85,4
5	22-03-2022 14:54:58	E170	D	71,6	75,4	84,8
5	22-03-2022 14:58:27	BCS3	D	68,2	70,1	77,7
5	22-03-2022 15:03:47	E75S	D	73,8	77,2	86,1
5	22-03-2022 15:05:48	A20N	D	71,9	75,8	84,2
5	22-03-2022 15:10:59	E75S	D	74,5	78,2	86,6
5	22-03-2022 15:17:59	E195	D	72,8	76,5	85,6
5	22-03-2022 15:20:31	CL35	D	67,9	70,4	78,3
5	22-03-2022 15:21:46	E195	D	72,4	76,9	85,8
5	22-03-2022 15:34:54	E170	D	71,7	75,0	84,9
5	22-03-2022 15:45:34	E170	D	73,1	76,4	86,1
5	22-03-2022 15:50:28	A321	D	73,0	76,8	87,2
5	22-03-2022 15:57:12	E195	D	72,7	76,5	86,3
5	22-03-2022 16:27:18	E195	D	72,6	76,5	85,2
5	22-03-2022 16:30:54	B789	D	72,1	75,4	84,4
5	22-03-2022 16:32:51	GLF4	D	68,3	69,1	78,7
5	22-03-2022 16:37:34	B788	D	71,7	74,4	83,8
5	22-03-2022 16:42:18	B738	D	75,6	80,2	88,9
5	22-03-2022 16:45:04	E195	D	73,9	78,0	86,7
5	22-03-2022 16:46:40	E190	D	73,6	77,2	85,7
5	22-03-2022 16:53:13	E170	D	72,9	77,3	86,2
5	22-03-2022 16:54:57	E75S	D	73,2	76,6	86,2
5	22-03-2022 16:58:49	E75S	D	73,8	78,6	87,3
5	22-03-2022 17:04:42	E170	D	72,5	75,7	85,3

Nr punktu pomiarowego	Data i godz. zdarzenia	Samolot	Operacja*	L <sub>Aeq</sub>	L <sub>Amax</sub>	L <sub>AE</sub>
				[dB]	[dB]	[dB]
5	22-03-2022 17:06:11	E75S	D	73,3	77,3	85,9
5	22-03-2022 17:07:38	E190	D	72,9	76,7	85,2
5	22-03-2022 17:09:00	E75S	D	73,0	76,7	85,8
5	22-03-2022 17:13:22	E190	D	75,2	79,2	87,2
5	22-03-2022 17:16:07	E190	D	73,6	77,6	86,4
5	22-03-2022 17:22:19	B788	D	71,2	74,4	83,5
5	22-03-2022 17:30:45	B788	D	71,3	74,3	83,6
5	22-03-2022 17:34:14	B788	D	71,9	75,2	84,2
5	22-03-2022 17:43:44	E170	D	71,7	75,2	85,5
5	22-03-2022 17:49:31	A321	D	73,4	76,5	87,2
5	22-03-2022 17:54:35	A321	D	71,7	75,1	86,2
5	22-03-2022 18:02:32	A321	D	73,1	76,6	86,9
5	22-03-2022 18:04:40	A20N	D	68,6	69,5	78,6
5	22-03-2022 18:07:59	E195	D	73,4	76,9	86
5	22-03-2022 18:25:45	CL30	D	68,6	69,5	79,7
5	22-03-2022 18:43:33	E195	D	74,4	78,7	87,6
5	22-03-2022 18:49:49	C30J	D	71,8	74	82,6
5	22-03-2022 18:52:34	CRJ9	D	69,6	71,4	82,4
5	22-03-2022 19:22:56	B788	D	72,6	76,3	85,2
5	22-03-2022 19:26:16	A20N	D	71,1	73,3	82,9
5	22-03-2022 19:29:25	AT75	D	70,2	71,8	79,2
5	22-03-2022 19:34:58	A20N	D	68,2	69,3	79,3
5	22-03-2022 19:48:52	A21N	D	71,7	73,8	84,3
5	22-03-2022 19:59:29	A320	D	72,1	75,4	84,6
5	22-03-2022 20:44:41	E75S	D	72	75	85
5	22-03-2022 20:46:59	E75S	D	73,2	76,6	86,2
5	22-03-2022 20:49:11	E195	D	73,5	78,0	86,5
5	22-03-2022 20:52:21	E195	D	74,7	78,8	87,7
5	22-03-2022 20:54:00	E195	D	73,9	77,8	86,9
5	22-03-2022 20:56:33	E195	D	74,9	79,2	87,9
5	22-03-2022 21:00:18	B738	D	73,4	77,8	87,0
5	22-03-2022 21:03:20	E75S	D	72,8	76,2	85,4
5	22-03-2022 21:04:51	E170	D	73,8	77,8	86,6
5	22-03-2022 21:10:31	E195	D	74,6	78,7	87,6
5	22-03-2022 21:17:18	B763	D	68,9	69,9	82,5
5	22-03-2022 21:28:44	B38M	D	72,0	74,9	83,5
5	22-03-2022 21:41:58	B734	D	72,4	76,5	86,2
5	22-03-2022 21:59:31	A306	D	75,8	80,6	90,4
5	23-03-2022 12:45:42	B788	D	72,5	75,8	85
5	23-03-2022 12:56:36	B788	D	73	76,6	86,6
5	23-03-2022 14:24:47	B788	D	70,4	72,4	82,2
5	23-03-2022 15:48:59	A21N	D	69,7	71,9	81,5
5	23-03-2022 15:58:48	B788	D	69,2	70,6	80,9
5	23-03-2022 16:44:24	B788	D	71,0	73,1	83,3
5	23-03-2022 17:46:41	B789	D	73,4	76,9	87,5
5	23-03-2022 19:02:57	B789	D	71,9	75,5	84,7
5	23-03-2022 19:12:29	B788	D	72,3	75	84,1
5	23-03-2022 21:15:17	B789	D	70,9	73,7	83,2
5	24-03-2022 06:47:31	B788	D	72,9	76,7	85,9
5	24-03-2022 16:24:50	A21N	A	69,7	72,0	81,4
5	24-03-2022 17:10:54	B788	D	71,6	74,4	84,2
5	24-03-2022 17:18:47	B788	D	72,0	75,5	85,3
5	24-03-2022 21:53:19	B789	D	72,9	76,4	85,7
5	25-03-2022 09:02:08	B788	D	71,8	74,7	84,1
5	25-03-2022 12:39:35	B788	D	72,3	74,3	85,1
5	25-03-2022 12:54:56	B788	D	71,6	74,3	85,8
5	25-03-2022 14:16:20	B789	D	71,5	74,9	84,5



Nr punktu pomiarowego	Data i godz. zdarzenia	Samolot	Operacja*	L <sub>Aeq</sub>	L <sub>Amax</sub>	L <sub>AE</sub>
				[dB]	[dB]	[dB]
5	25-03-2022 17:04:44	E75S	D	70,4	75,9	81,2
5	25-03-2022 17:11:40	B789	D	71,1	74,2	84,7
5	25-03-2022 17:42:20	B788	D	72,3	74,7	84,4
5	25-03-2022 18:08:30	B789	D	71,7	75,5	85,3
5	25-03-2022 18:16:39	B38M	D	71,7	74,8	84,0
5	25-03-2022 19:03:48	B788	D	72,0	75,1	84,5
5	25-03-2022 19:08:59	B788	D	84,4	93,3	100,2
5	26-03-2022 07:31:21	E75S	D	67,1	69,0	77,8
5	26-03-2022 09:20:31	B789	D	72,4	77,0	87,1
5	26-03-2022 10:04:06	A321	D	69,0	71,5	82,4
5	26-03-2022 11:14:39	B738	D	69,8	72,5	81,9
5	26-03-2022 12:48:18	B788	D	72,1	75,2	85,9
5	26-03-2022 12:51:35	A321	D	69,1	72,1	83,9
5	26-03-2022 13:07:25	C650	D	69,7	73,1	81,8
5	26-03-2022 13:44:31	B738	D	74,7	79,6	89,5
5	26-03-2022 14:35:00	E195	A	68,0	69,4	78,0
5	26-03-2022 15:28:54	B752	D	72,7	75,9	87,1
5	26-03-2022 16:03:40	B788	D	73,8	76,4	86,8
5	26-03-2022 16:09:37	E195	D	69,2	73,9	84,9
5	26-03-2022 16:47:12	B789	D	73,2	76,9	86,5
5	26-03-2022 17:01:57	A333	D	74,5	79,3	91,9
5	26-03-2022 17:11:12	B788	D	73,7	76,7	86,7
5	26-03-2022 17:47:09	B788	D	71,9	75,1	85,3
5	26-03-2022 19:42:51	B738	D	68,7	71,3	81,7
5	26-03-2022 19:59:31	B742	D	76,4	84,2	92,9
5	26-03-2022 20:02:25	B752	D	71,9	75,3	84,5
5	27-03-2022 07:16:44	C17	D	82,9	89,0	98,2
5	27-03-2022 08:28:47	B738	D	74,5	79,2	88,8
5	27-03-2022 10:20:02	B764	D	74,8	80,5	89,9
5	27-03-2022 12:12:21	B789	D	70,0	74,0	83,1
5	27-03-2022 12:22:43	C17	D	81,3	86,5	95,8
5	27-03-2022 14:27:11	B38M	D	71,5	74,4	83,2
5	27-03-2022 14:51:10	B788	D	71,2	74,4	83,7
5	27-03-2022 15:00:43	B77L	D	69,8	72,9	83,2
5	27-03-2022 15:25:55	B788	D	71,9	75,3	84,5
5	27-03-2022 17:16:07	B788	D	71,9	75,0	84,9
5	27-03-2022 17:22:13	B788	D	72,4	75,5	84,4
5	27-03-2022 17:34:10	B789	D	71,3	74,2	84,1
5	27-03-2022 17:40:17	B789	D	73,0	76,0	85,5
5	28-03-2022 07:47:24	A21N	D	67,0	69,8	77,4
5	28-03-2022 11:04:28	B789	D	69,6	72,3	83,2
5	28-03-2022 12:48:43	B788	D	72,4	76,0	87,0
5	28-03-2022 14:05:10	B738	D	67,7	70,4	80,2
5	28-03-2022 17:16:18	B788	D	70,4	73,8	83,4
5	28-03-2022 17:39:44	B788	D	72,5	75,0	83,9
5	28-03-2022 21:49:24	B38M	D	69,5	71,1	81,5
5	29-03-2022 08:21:14	B788	D	73,2	75,8	85,5
5	29-03-2022 16:05:01	B789	D	72,6	75,2	85,8
5	29-03-2022 16:53:42	B788	D	72,8	76,6	87,1
5	29-03-2022 17:28:47	B788	D	72,5	75,6	85,3
5	29-03-2022 17:37:47	B788	D	73,1	75,9	85,6
5	29-03-2022 17:52:13	A321	D	76,4	84,2	92,1
5	29-03-2022 18:15:27	B789	D	73,3	77,3	87,2
5	29-03-2022 21:28:37	B789	D	72,8	75,2	85,6
5	30-03-2022 11:56:15	B788	D	72,9	75,9	85,4
5	30-03-2022 12:43:13	B788	D	72,4	75,6	85,2
5	30-03-2022 13:58:26	E170	D	72,2	75,6	85

Nr punktu pomiarowego	Data i godz. zdarzenia	Samolot	Operacja*	L <sub>Aeq</sub>	L <sub>Amax</sub>	L <sub>AE</sub>
				[dB]	[dB]	[dB]
5	30-03-2022 14:01:48	E75S	D	73,4	76,7	86,6
5	30-03-2022 14:03:42	B789	D	71,2	74	84,7
5	30-03-2022 14:06:41	E75S	D	72,6	75,9	85,4
5	30-03-2022 16:44:35	B789	D	71,9	75,2	85
5	30-03-2022 17:17:48	B788	D	73,1	76,1	85,4
5	30-03-2022 17:19:43	B788	D	72,2	75,1	84,2
5	30-03-2022 17:22:35	B789	D	73	76,8	86,3
5	30-03-2022 17:43:52	B789	D	72,7	76,1	85,5
5	31-03-2022 08:48:12	E195	D	66,6	67,5	77,4
5	31-03-2022 11:17:55	B788	D	72,4	76,2	86,6
5	31-03-2022 12:51:10	B788	D	71,8	74,0	84,8
5	31-03-2022 13:29:15	E195	D	74,5	79,5	87,5
5	31-03-2022 13:45:11	B738	A	69,6	72,7	81,0

Zestawienie zdarzeń akustycznych spowodowanych przelotami statków powietrznych w porze nocy ( przedział czasu pomiędzy godz. 22.00 – 06.00 )

Nr punktu pomiarowego	Data i godz. zdarzenia	Samolot	Operacja*	L <sub>Aeq</sub>	L <sub>Amax</sub>	L <sub>AE</sub>
				[dB]	[dB]	[dB]
5	02-03-2022 02:12:40	B788	D	70,7	74,7	84,0
5	03-03-2022 22:07:26	A306	D	72,3	78,3	90,0
5	03-03-2022 23:55:01	A333	D	63,7	65,8	73,3
5	05-03-2022 00:31:47	C295	D	64,5	66,8	77,3
5	05-03-2022 00:39:01	A333	D	73,2	78,7	88,9
5	06-03-2022 23:26:32	E75S	D	66,0	69,1	75,6
5	07-03-2022 23:39:24	B788	D	71,0	75,0	85,5
5	08-03-2022 00:36:31	C17	D	64,3	65,8	76,6
5	08-03-2022 22:26:51	A320	D	63,0	64,1	74,5
5	10-03-2022 05:51:07	A306	A	63,4	65,5	72,9
5	11-03-2022 05:45:50	B788	A	65,2	67,9	77,5
5	14-03-2022 23:06:08	A321	A	64,8	67,0	73,8
5	21-03-2022 05:42:24	B789	A	65,6	68,5	81,4
5	21-03-2022 05:45:20	B38M	A	63,4	63,7	72,4
5	22-03-2022 05:43:14	C501	D	66,7	69,4	80,1
5	22-03-2022 22:36:23	C17	D	75,4	81,4	91,2
5	22-03-2022 22:50:41	B738	D	72,7	78,1	87,1
5	22-03-2022 22:57:19	E195	D	72,6	78,2	87,2
5	22-03-2022 23:05:43	E190	D	71,1	75,9	86,0
5	22-03-2022 23:11:15	DH8D	D	64,3	64,8	73,3
5	22-03-2022 23:12:32	E170	D	69,6	73,9	85,5
5	22-03-2022 23:14:02	E75S	D	71,4	75,1	85,7
5	22-03-2022 23:20:30	B738	D	74,4	79,4	89,0
5	22-03-2022 23:57:46	C295	D	64,7	66,9	77,3
5	23-03-2022 00:39:09	C17	D	75,8	82,1	91,6
5	23-03-2022 00:41:51	C17	D	75,4	80,7	90,4
5	25-03-2022 23:49:16	E195	D	63,7	64,7	73,2
5	28-03-2022 23:01:38	E75S	D	64,9	67,3	74,5
5	29-03-2022 04:28:05	A20N	D	66,7	69,4	81,4
5	29-03-2022 23:05:47	E190	D	62,5	63,5	71,5
5	29-03-2022 23:13:30	DH8D	D	62,7	63,6	71,7
5	29-03-2022 23:25:32	B788	D	71,6	76,3	86,1



## LEGENDA

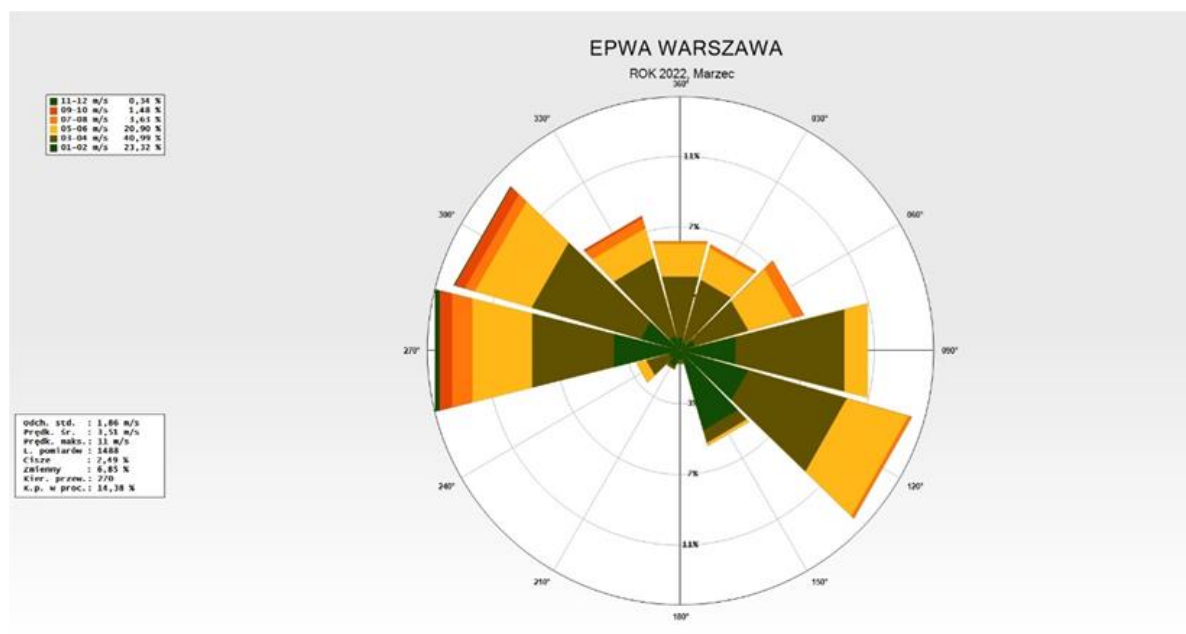
- Samolot – typ statku powietrznego
- Operacja: A – lądowanie, D – start, P - przelot
- $L_{Aeq}$  – równoważny poziom dźwięku dla zdarzenia akustycznego
- $L_{Amax}$  – maksymalny poziom dźwięku dla zdarzenia akustycznego
- $L_{AE}$  – ekspozycyjny poziom dźwięku dla zdarzenia akustycznego
- Kolorem niebieskim oznaczono zdarzenia akustyczne, które miały miejsce w czasie gdy nie były spełnione warunki meteorologiczne<sup>1</sup>, a także wystąpiły zakłócenia od innych źródeł hałasu.

## WARUNKI METEOROLOGICZNE DLA LOTNISKA:

Ustalane na wysokości: 106,51 m n.p.m

Wielkości ustalone	Wartości maksymalne	Wartości minimalne	Wartości średnie miesięczne
	w danym miesiącu	w danym miesiącu	
Temperatura [°C]	19,3	-8,4	3,6
Wilgotność względna [%]	95	19	58
Ciśnienie atmosferyczne [hPa]	1033,6	991	1014,3

## Miesięczna róża wiatrów



<sup>1</sup> Warunki meteorologiczne określone w punkcie D "Referencyjnej metodyki wykonywania ciągłych pomiarów poziomów hałasu wprowadzanego do środowiska przez starty, lądowania i przeloty statków powietrznych w związku z eksploatacją lotnisk oraz kryteria lokalizacji punktów pomiarowych" (Załącznik nr 1 do rozporządzenia Ministra Środowiska z dnia 16 czerwca 2011 r. w sprawie wymagań w zakresie prowadzenia pomiarów poziomów substancji lub energii w środowisku przez zarządzającego drogą, linią kolejową, linią tramwajową, lotniskiem lub portem).